



دانشگاه صنعتی شیراز

دانشکده مهندسی برق و الکترونیک

پایان نامه برای دریافت درجه کارشناسی ارشد

در رشته مهندسی مخابرات - گرایش میدان

طراحی آنتن آرایه خطی باند وسیع با پترن مربع کسکانت

: بوسیله

ضھی کربلائی

: استاد راهنما:

دکتر مسعود محزون

: استاد مشاور:

دکتر محمد جواد دهقانی

شهریور ۱۳۸۹

بِسْمِ اللَّهِ الرَّحْمَنِ الرَّحِيمِ

بسمه تعالى

## طراحی آنتن آرایه خطی باند وسیع با پترن مربع کسکانت

پایان نامه ارائه شده به عنوان بخشی از فعالیت های تحصیلی

برای اخذ درجه کارشناسی ارشد

توسط:

ضھی کربلائی

گروه مخابرات-میدان، دانشکده مهندسی برق و الکترونیک

دانشگاه صنعتی شیراز

ارزیابی شده توسط کمیته پایان نامه با درجه: عالی

دکتر مسعود محزون، استادیار مهندسی برق مخابرات-میدان (استاد راهنما)

دکتر محمد جواد دهقانی، دانشیار مهندسی برق مخابرات-سیستم (استاد مشاور)

دکتر شاهرخ جم، استادیار مهندسی برق مخابرات-میدان (داور)

دکتر طاهر نیکنام، استادیار مهندسی برق قدرت (داور)

---

دکتر محمد رضا صالحی، دانشیار مهندسی برق الکترونیک (نماینده تحصیلات تکمیلی)

مدیر امور آموزشی و تحصیلات تکمیلی دانشگاه: مهندس نصرت الله علی قنبری

قلم یارای نوشتن آنچه قلبم را به تپش واداشته است، ندارد و بر خود می‌لرزد. سخن از شکر است و سپاس؛ سپاس از معبدی که بیکرانگی نعماتش زبان را عاجز و زبون نموده است. چه بگوییم؟ چه بنویسم؟ خداوندا در این مهمترین مهم‌سپاس از خویش- (همانند سابق) کمک فرما.

آفریدگارم؛

بر عرش ملکوتی و کبریاییت سرمی‌سایم به پاس الطاف بیشمارت، که نخست لطفت در حق من (انسان)، طفیل هستی بود و رهاوردش نعمت بندگی. و سپاس می‌گذارم تو را در همه حال و غنیمت می‌دانم این شکرگزاری از تو را، از آن باب که شکرگزاری تنها مختص آدمیان است و بس.

از جناب آقای دکتر محزون به پاس تمام لحظه‌هایی که پنجره فهم مرا با دنیایی از چشم اندازهای بکر و بدیع آشنا نمودند و باران دانش را بر آسمان روح و سرزمین اندیشه ام – که تشنۀ درک و دانایی بوده و هست – جاری ساختند، صمیمانه کمال تشکر را دارم.

در اینجا، قدردانی ویژه ام را نثار دو گوهر گرانسنج زندگانی‌ام- پدر و مادر مهربانم- می‌نمایم.

قدردان پدرم هستم؛ که راه رفتن بر سبیل عشق و راستی را از سلوکشان آموخته‌ام؛ پدری که روح زندگی، شوق و شکر را با نیایش بامدادی خویش، به خانه پر ز مهرمان دعوت می‌کنند و با نجوای اشراق‌گونه‌شان اسرار و رموز آفرینش را دیگر بار برایم زمزمه می‌نمایند.

قدردان مادرم هستم که به راستی خورشید از چشمانشان طلوع می‌کند، نسیم بهاری از نفس پاکشان وزیدن را آغاز می‌نماید و دریا، آرامشش را از دل بی‌آلایششان به ودیعه می‌گیرد.

آری، چنین است خانه‌ای که مأمن سرشار از الفت و محبت برایم بوده است و من در آن پرورش یافته‌ام؛ حال مملو از حس سپاس بودنم، کمترین پیشکشی است که به والدین و تک تک اعضای خانواده عزیزم تقدیم می‌کنم.

از تمامی اساتید بزرگوارم که در طی این سالیان دانش‌آموختگی، رنج شیرین یادگیری را بر من هموار نموده‌اند، سپاسگزارم.

در آخر اینکه؛ من سخت بر سنت تغییر استوارم؛ که این تنها تفاوت میان فطرت انسانی است و غریزه حیوانی.

**چکیده:** در مخابرات بی‌سیم آنتن‌ها با پترن تشعشعی خاص به منظور کنترل بهتر توان به طور گستردگی مورد استفاده قرار می‌گیرند. این گونه پترن‌ها معمولاً با آرایه‌ها پیاده‌سازی می‌شوند و پترن مطلوب به وسیله کنترل دامنه و فاز المان‌های آرایه ایجاد می‌شود.

در این پروژه آرایه خطی با پهنای باند وسیع ۲۳٪ و میزان گلبرگ کناری کمتر از ۱۸dB و پترن مربع کسکانت با المان‌های دی‌پل صفحه‌ای در فرکانس ۱۰۸۸ مگاهرتز طراحی شده است. بدین منظور ابتدا تک المان با پهنای باند زیاد با معیار تلفات بازگشتی کمتر از ۱۵dB- طراحی شده و با استفاده از مشخصات این عنصر در آرایه و الگوریتم ژنتیک تطبیق‌پذیر دامنه و فاز المان‌ها با محدودیت‌هایی بر وضعیت دامنه المان‌ها و مقادیر فاز تعیین شده‌اند و نتایج حاصل از آن در نرم افزار CST STUDIO SUITE 2009 شبیه سازی شده و با نتایج الگوریتم ژنتیک مقایسه شده‌اند.

**كلمات کلیدی:** شکل‌دهی بیم، پترن مربع کسکانت، سنتز پترن آرایه خطی، دی‌پل صفحه‌ای، باند وسیع، گلبرگ کناری کم، الگوریتم ژنتیک

## فهرست

۹ .....	فصل اول مقدمه و کلیات .....
۱-۱ مقدمه .....	۲ .....
۲-۱ معرفی آرایه .....	۲ .....
۳-۱ تاریخچه سنتر پترن آرایه .....	۳ .....
۴-۱ پترن مریع کسکانت .....	۵ .....
۵-۱ هدف تحقیق .....	۷ .....
۶-۱ روند کلی پایان نامه .....	۸ .....
۷-۱ روند کلی پایان نامه .....	۹ .....
۷-۲ فصل دوم مبانی آتن آرایه و سنتر تحلیلی پترن .....	۹ .....
۸-۱ مقدمه .....	۱۰ .....
۸-۲ تعاریف پهنای باند .....	۱۱ .....
۹-۱ پهنای باند امپدانسی .....	۱۱ .....
۹-۲ پهنای باند پترن تشبعی .....	۱۲ .....
۱۰-۱ پهنای باند پلاریزیشن یا نسبت محوری .....	۱۳ .....
۱۰-۲ ساختارهای صفحه ای .....	۱۴ .....
۱۱-۱ آتن های صفحه ای معلق .....	۱۵ .....
۱۱-۲ آتن ها با صفحه خمیده .....	۱۸ .....
۱۲-۱ آرایه .....	۲۰ .....
۱۲-۲ محاسبه AF برای آرایه خطی .....	۲۱ .....
۱۲-۳ ضرب پترن ها .....	۲۲ .....
۱۳-۱ سنتر پترن .....	۲۴ .....
۱۳-۲ روش تبدیل فوریه .....	۲۴ .....
۱۴-۱ روش سنتر Schelkunoff .....	۲۶ .....

۲۸	۳-۵-۲ روش سنتر Woodward
۳۰	۴-۵-۲ روش سنتر Dolph-Chebyshev
۳۲	۵-۵-۲ روش سنتر Taylor برای منابع پیوسته خطی
۳۶	۶-۵-۲ روش سنتر Bayliss برای منابع پیوسته خطی
۳۸	۷-۵-۲ سنتر پترن بر مبنای پترن Taylor: پترن اصلاح شده Elliott و روش تکرار Elliott
۴۰	۸-۵-۲ سنتر پترن با ریشه های مختلط و سنتر پترن توان
۴۱	۱-۸-۵-۲ روش سنتر پترن توان Steyskal
۴۴	۲-۸-۵-۲ روش سنتر پترن توان Orchard
۵۱	فصل سوم بهینه سازی در آرایه و الگوریتم ژنتیک
۵۲	۱-۳ مقدمه
۵۳	۲-۳ بهینه سازی تابع چند متغیره
۵۴	۱-۲-۳ روش جستجوی تصادفی
۵۵	۲-۲-۳ روش جستجوی خط
۵۸	۳-۲-۳ روش الگوریتم Nelder_Mead Downhill Simplex
۶۰	۴-۲-۳ مقایسه الگوریتم های بهینه ساز محلی
۶۳	۵-۲-۳ روش ذوب فلزات
۶۵	۳-۳ الگوریتم ژنتیک
۶۶	۱-۳-۳ تشکیل جمعیت اولیه
۶۷	۲-۳-۳ ارزیابی شایستگی
۶۸	۳-۳-۳ انتخاب طبیعی
۷۳	۴-۳-۳ تولید نسل جدید
۷۶	۵-۳-۳ جهش
۷۷	۶-۳-۳ پایان الگوریتم
۷۷	۴-۳ بهینه سازی آتنن های آرایه ای با استفاده از الگوریتم ژنتیک
۷۸	۱-۴-۳ بهینه سازی دامنه المان های آتنن های آرایه ای
۷۹	۲-۴-۳ بهینه سازی فاز المان های آتنن های آرایه ای
۸۰	۳-۴-۳ بهینه سازی سطح لوب فرعی با الگوریتم ژنتیک از طریق تعیین فاز
۸۱	۴-۴-۳ بهینه سازی دامنه و فاز آتنن های آریهای
۸۱	۵-۴-۳ الگوریتم ژنتیک تطبیق پذیر
۸۷	فصل چهارم طراحی و شبیه سازی آرایه خطی باند وسیع با پترن مربع کسکانت
۸۸	۱-۴ مقدمه
۸۸	۲-۴ مشخصات پترن مطلوب

۳-۴ تعیین ساختار تک المان.....	۸۸
۱-۳-۴ دی پل میله ای .....	۸۹
۲-۳-۴ ساختار مستطیلی .....	۹۰
۳-۳-۴ ساختار مثلثی.....	۹۱
۴-۳-۴ ساختار بیضوی.....	۹۲
۵-۳-۴ ساختار جدید .....	۹۳
۴-۴ پترن تشعشعی دی پل در آرایه .....	۹۶
۵-۴ سنتر پترن آرایه به روش الگوریتم ژنتیک.....	۹۸
۱-۵-۴ نحوه عملکرد الگوریتم .....	۹۸
۲-۵-۴ تابع هدف .....	۱۰۰
۳-۵-۴ نتایج حاصل از محاسبات الگوریتم ژنتیک .....	۱۰۱
۶-۴ بررسی آماری الگوریتم .....	۱۰۸
<b>فصل پنجم جمع‌بندی و پیشنهادات .....</b>	<b>۱۱۰</b>
۱-۵ جمع بندی .....	۱۱۱
۲-۵ پیشنهادات.....	۱۱۱
منابع .....	۱۱۲
الف-۱ نگاهی به روش تحلیل در نرم افزار .....	۱۱۷
الف-۲ نگاهی کوتاه به نحوه کار با نرم افزار .....	۱۲۰
الف-۲-۱ رسم ساختار و تعیین پورتتها .....	۱۲۲
الف-۲-۲ تعیین رنج فرکانسی و مشخصات مرزی .....	۱۲۲
الف-۲-۳ تعیین پارامترهای مورد نیاز برای محاسبه .....	۱۲۲
الف-۲-۴ مش بندی و شبیه سازی .....	۱۲۳
الف-۲-۵ مشاهده و استخراج نتایج .....	۱۲۴

## فهرست جداول

جدول(۱-۲) تابع لوبهای فرعی دور نسبت به پارامتر تحریک $\alpha$ ..... ۳۳
جدول(۱-۳) مقایسه میانه پاسخ های چهار روش بهینه سازی برای آرایه با تعداد المان های مختلف ..... ۶۲
جدول(۱-۴) مشخصات دی پل مستطیلی ..... ۹۰
جدول(۲-۴) ابعاد ساختار طراحی شده بر حسب میلی متر ..... ۹۴
جدول(۳-۴) دامنه و فاز المان های آرایه مطلوب ..... ۱۰۴
جدول(۴-۴) دامنه و فاز المان ها برای بدست آوردن پترن مربع کسکانت ..... ۱۰۶
جدول(۵-۴) نتایج بررسی آماری الگوریتم ..... ۱۰۸
جدول(۶-۴) تعدادی از پاسخ های بدست آمده توسط الگوریتم ژنتیک ..... ۱۰۹

## فهرست شکل‌ها

..... ۶	شکل(۱-۱) هدف در ارتفاع ثابت $h$ و فاصله $R$ از آنتن
..... ۷	شکل(۱-۲) تغییر فرم رفلکتور برای دستیابی به پترن مربع کسکانت
..... ۷	شکل(۱-۳) استفاده از چند آنتن هورن در کانون رفلکتور برای دستیابی به پترن مربع کسکانت
..... ۱۵	شکل(۲-۱) آنتن صفحه‌ای معلق بالای صفحه زمین
..... ۱۶	شکل(۲-۲) امپدانس ورودی آنتن صفحه‌ای به ازای مقادیر مختلف $h$ و $d$
..... ۱۷	شکل(۳-۲) تلفات بازگشتی بر حسب فرکانس برای آنتن صفحه‌ای
..... ۱۷	شکل(۴-۲) پهنه‌ای باند امپدانسی قابل دستیابی و فرکانس رزنانس نسبت به فاصله $h$
..... ۱۷	شکل(۵-۲) امپدانس ورودی بر حسب فرکانس برای $f=1-2\text{GHz}$ ، $h=21\text{mm}$ تا $h=9\text{mm}$
..... ۱۸	شکل(۶-۲) آنتن صفحه خمیده
..... ۱۹	شکل(۷-۲) نسبت co-to-cross-pol در صفحه X-Z نسبت به $I_1/\lambda_1$ برای آنتن شکل(۶-۲)
..... ۲۰	شکل(۸-۲) پترن تشعشعی $E_\phi$ و $E_\theta$ در صفحه X-Z
..... ۲۰	شکل(۹-۲) امپدانس ورودی به ازای $I_1/\lambda_1$ های در نواحی مختلف کاری
..... ۲۱	شکل(۱۰-۲) شمای یک آرایه ساده
..... ۲۲	شکل(۱۱-۲) شمای آرایه برای تعیین AF
..... ۲۴	شکل(۱۲-۲) شمای آرایه با عناصر دی پل کوتاه
..... ۲۵	شکل(۱۳-۲) سنتز سری فوریه برای پترن پالسی (منحنی پیوسته برای آرایه با ۱۶المان و نقطه چین برای آرایه با ۸۸المان) [۲۶]

شکل(۱۴-۲) دایره واحد Schelkunoff برای آرایه یکنواخت با $\lambda$ المان با تحریک یکسان مکان ریشه ها (دایره ها) و محدوده مسیر (پیکان) قابل رویت برای $0 \leq u \leq 1$ (الف) فاصله المان $\lambda/4$ (ب) فاصله المان $3\lambda/4$	۲۷.....[۳]
شکل(۱۵-۲) سنتز پترن Lawson و Woodward (الف) بیم های متعامد آرایه با $N$ المان (ب) دو بیم متعامد زسم شده در تمام بازه برای $i=1/2, i=7/2$ (ج) پترن پالسی سنتز شده با روش Woodward و Lawson	۲۹.....[۲۷]
شکل(۱۶-۲) پترن Chebyshev با ۸ المان به ازای لوب های فرعی $-20dB, -30dB, -40dB$	۳۲.....[۲۷]
شکل(۱۷-۲) پترن Taylor خطوط پیوسته برای منبع خطی نقطه چین برای منبع با ۳۶ المان (الف) ضریب وزنی خطا (ج) تقریب بهترین هارمونیک	۳۶.....[۲۷] (ب) $\bar{n} = 18$ (ا) $\bar{n} = 2$
شکل (۱۸-۲) پترن Bayliss با $\bar{n} = 4$ خط پیوسته برای منبع خطی نقطه چین برای آرایه نمونه برداری شده با ۱۶ المان	۳۸.....[۷]
شکل (۱۹-۲) پترن سنتز شده به روش Elliott	۴۰.....[۲]
شکل (۲۰-۲) سنتز پترن Steyskal (الف) پترن مطلوب به صورت نقطه چین و پترن قابل دستیابی (ب) تابع ضریب وزنی خطا (ج) تقریب بهترین هارمونیک	۴۵.....
شکل (۲۱-۲) سنتز پترن Towan Orchard (الف) کل پترن شامل بیم اصلی و ناحیه لوبهای فرعی پترن مطلوب به صورت نقطه چین (ب) ماکریم و مینیم های پترن در ناحیه بیم اصلی	۴۶.....
شکل (۲۲-۲) پترن $csc^2 \theta \cos \theta$ با ۱۶ المان با ریپل (الف) (ب) $\pm 0.5dB$ (ج) $\pm 1.0dB$	۵۰..... $\pm 0.1dB$
شکل (۱-۳) آرایه با ۶ المان با دو ضریب مستقل و قابل تنظیم	۵۳.....
شکل(۲-۳) یک آرایه ۶ عنصری با توزیع دامنه یکنواخت	۵۳.....
شکل(۳-۳) $AF_2$ به ازای مقادیر مختلف دامنه	۵۴.....
شکل (۴-۳) $AF_2$ به ازای مقادیر مختلف فاز	۵۴.....
شکل(۵-۳) سی حدس تصادفی برای یافتن مینیمم $AF_2$	۵۵.....
شکل (۶-۳) الگوریتم مینیمم سازی روش جستجوی خط	۵۶.....
شکل (۷-۳) جستجوی خط بر مبنای مختصات برای یافتن سه مینیمم محلی $AF_2$	۵۷.....
شکل (۸-۳) مسیر حرکت در الگوریتم Nelder_Mead downhill simplex برای یافتن مینیمم $AF_2$	۶۰.....
شکل(۹-۳) نقاطی که در صورت شروع الگوریتم از آنها همگرایی صورت می گیرد	۶۰.....

..... شکل(۱۰-۳) فلوچارت الگوریتم ژنتیک	۶۶
..... شکل(۱۱-۳) انتخاب بر مبنای چرخه رولت بر اساس برازنده‌گی کروموزوم	۷۰
..... شکل(۱۲-۳) انتخاب بر مبنای چرخه رولت بر اساس رتبه	۷۲
..... شکل (۱۳-۳) انتخاب مسابقه ای	۷۳
..... شکل(۱۴-۳) جهش در کروموزوم ها(a) کد گذاری باینری(b) کد گذاری مقدار(c) جهش با تغییر ترتیب	۷۶
..... شکل(۱۵-۳) پترن تشعشعی آتن با ۵۰ المان آرایه اول با تحریک یکسان آرایه دوم آرایه بهینه با تغییر دامنه [۴۵] ۱۰ المان	۷۹
..... شکل(۱۶-۳) دامنه المان ها در حالت بهینه [۴۵]	۷۹
..... شکل(۱۷-۳) پترن تشعشعی بهینه برای المان ها با توزیع دامنه تیلور سمت چپ نمودار توزیع دامنه و نمودار سمت راست توزیع فازرانشان می دهد [۴۰]	۸۱
..... شکل (۱۸-۳) الگوریتم ژنتیک در آرایه	۸۳
..... شکل (۱۹-۳) الگوریتم ژنتیک ناظری	۸۶
..... شکل(۱-۴) دی پل میله ای	۸۹
..... شکل(۲-۴) تلفات بازگشتی دی پل میله ای به ازای شعاع های مختلف	۸۹
..... شکل(۳-۴) دی پل مستطیلی	۹۰
..... شکل(۴-۴) تلفات بازگشتی دی پل مستطیلی	۹۱
..... شکل(۴-۵) دی پل مثلثی	۹۱
..... شکل(۴-۶) تلفات بازگشتی دی پل مثلثی	۹۲
..... شکل(۷-۴) دی پل بیضوی	۹۳
..... شکل(۸-۴) تلفات بازگشتی دی پل بیضوی	۹۳
..... شکل(۹-۴) دی پل طراحی شده	۹۴
..... شکل(۱۰-۴) ابعاد دی پل طراحی شده	۹۴
..... شکل(۱۱-۴) (الف) نمودار تلفات بازگشتی (ب) مقاومت ورودی (ج) راکتانس ورودی - خطوط پیوسته برای آتن با زیرلایه با ضریب گذردهی $1/4$ و نقطه چین برای گذردهی $2/17$	۹۶
..... شکل(۱۲-۴) پترن تشعشعی دی پل طراحی شده در $\phi = 0$ خط نقطه چین پترن تقریبی	۹۶

شکل(۱۳-۴) (الف) پترن تشعشعی دی پل با $\epsilon_r = 2.17$	۹۷
شکل(۱۴-۴) (الف) مولفه $E_\theta$ در E-plane (ب) مولفه $E_\phi$ در E-plane	۹۷
شکل(۲۳-۴) پترن مطلوب نمونه برداری شده	۱۰۱
شکل(۲۴-۴) (الف) تغییرات رنج جهش (ب) تغییرات مقدار جهش (ج) تغییرات مقدار تابع هدف بر حسب شماره تکرار (د) دامنه المان ها (ه) فاز المان ها (و) پترن بدست آمده	۱۰۳
شکل(۲۶-۴) خط نقطه چین پترن حاصل از محاسبه الگوریتم ژنتیک و خط پیوسته پترن حاصل از شبیه سازی در نرم افزار CST	۱۰۵
شکل(۲۷-۴) پترن به دست آمده در لبه های باند	۱۰۶
شکل(۲۸-۴) (الف) دامنه المان ها (ب) فاز المان ها (ج) خط پیوسته پترن حاصل از شبیه سازی با CST خط نقطه چین پترن حاصل از الگوریتم ژنتیک	۱۰۷
شکل (۲۹-۴) نمای قطبی پترن برش در صفحه $\phi = 0$	۱۰۷
شکل(۱) نحوه مش بندی در روش FIT	۱۱۷
شکل(۲) فرمول بندی مش ها در روش FIT	۱۱۸
شکل(۳) توالی زمانی e و b	۱۲۰
شکل(۴) صفحه انتخاب محیط	۱۲۱
شکل(۵) شمای صفحه اصلی CST	۱۲۱
شکل(۶) تعیین رنج فرکانس و شرایط مرزی	۱۲۲
شکل(۷) تعیین محاسبات مطلوب	۱۲۳
شکل(۸) شبیه سازی با روش Transient Solver	۱۲۴

## فصل اول

مقدمه و کلیات

## ۱- مقدمه

با پیشرفت تکنولوژی راداری و نیاز به ساختارهای تعقیب هدف با سرعت بالا و تعقیب چند هدف، آنتن‌های آرایه‌ای جایگاه ویژه‌ای پیدا کردند. آنتن آرایه از کنار هم قرار گرفتن چند آنتن تشکیل می‌شود. که در سنتر این آنتن‌ها، مسئله اصلی تعیین ضرایب وزنی، دامنه و فاز المان‌ها، و موقعیت المان‌ها به منظور رسیدن به پترن مطلوب است. مسئله سنتر پترن آرایه در طی سالیان بسیار مورد توجه بوده و تکنیک‌های زیادی برای افزایش دقت و بهبود آنها به کار رفته است. در بسیاری از کاربردها لازم است که پترن محدودیتها خاصی نظیر توزیع دامنه المان‌ها، میزان گلبرگ کناری، پهنای باند و... داشته باشد. در این فصل به معرفی مختصر آرایه‌ها و ساختار بررسی شده پرداخته می‌شود.

## ۲- معرفی آرایه

قرار دادن تعدادی آنتن کنار هم در فضا و تغذیه کردن آنها به منظور به دست آوردن یک پترن تشعشعی جهتدار، ساختاری را به وجود می‌آورد که آنتن آرایه‌ای و یا برای سادگی آرایه نامیده می‌شود. می‌توان تعدادی آنتن کوچک را به گونه‌ای کنار هم قرار داد که کار آنتن‌های بزرگ تک عنصری را انجام دهنند. به‌حال مشکلات مکانیکی نصب آنتن‌ها در برابر مشکلات تغذیه آنتن‌های کوچک قرار دارند. با این حال با پیشرفت تکنولوژی حالت جامد<sup>۱</sup>، می‌توان شبکه تغذیه برای تحریک آنتن‌ها با قیمت مناسب به دست آورد. آرایه همچنین قابلیت یکتای اسکن الکتریکی بیم اصلی را دارد که این کار با تغییر فاز جریان تحریک هر یک از المان‌های آرایه صورت می‌گیرد و پترن می‌تواند فضا را اسکن کند. به این نوع آرایه، آرایه فازی گفته می‌شود. آرایه فازی کاربردهای ویژه‌ای به خصوص در رادار دارد. همزمان با جنگ جهانی دوم آرایه‌ها در فرکانس‌های VHF و UHF کار می‌کردند و بعد از آن فرکانس‌های مایکروویوی برای استفاده از سیستم‌های رادار معرفی شدند. امروزه آرایه‌ها به‌طور گستره‌ای مورد استفاده قرار می‌گیرند.

آرایه‌ها ساختارهای هندسی متعددی دارند. رایج‌ترین آنها آرایه خطی است که در آن مرکز عناصر آرایه روی خط مستقیمی است. المان‌های آرایه می‌توانند ساختار صفحه‌ای نیز داشته باشند. یک فرم معمول آرایه صفحه‌ای آرایه مستطیلی است که مرکز عناصر آن درون مستطیل

---

<sup>1</sup>solid-state

است. فرم دیگر آنها آرایه روی سطح‌های غیر مسطح است که مرکز عناصر روی سطح غیر صفحه‌ای قرار می‌گیرد. این امتیاز مهم آرایه برای قرار دادن آنتن بر روی وسایل نقلیه نظریه هواپیما بسیار کاربرد دارد.

آرایه امتیازهای زیادی نسبت به آنتن‌های روزنه‌ای دارد. برای مثال بیم باریک یک رفلکتور با چرخش کل ساختار قادر به اسکن کردن است در حالیکه آرایه با تغییر فاز المان‌ها با همان سرعتی که عناصر الکتریکی را کنترل می‌کند می‌تواند فضا را اسکن کند. همچنین می‌توان چندین هدف را با آرایه فازی تعقیب کرد. و همچنین آرایه می‌تواند بر روی سطح باشد. ولی آرایه‌ها به هر حال معایبی دارند. امتیاز اجتناب از تجهیزات مکانیکی در برابر مشکلات و پیچیدگی‌های شبکه مورده نیاز برای تغذیه المان‌های آنتن است. مشکلات دیگر محدودیت پهنانی باند و کوپلینگ متقابل بین عناصر است. میدان آنتن‌ها را می‌توان نظیر مدار به دو دسته آنالوگ و دیجیتال تقسیم کرد. ساختارهای پیوسته و از نظر الکتریکی بزرگ بخش آنالوگ می‌باشند که با معادلات انتگرالی آنالیز می‌شوند. آرایه‌ها بخش دیجیتال را تشکیل می‌دهند و می‌توانند با یک مجموع آنالیز شوند. پtern تشبعشی آرایه با توجه به مشخصات المان‌های مورد استفاده، نحوه و جهت قرار گرفتن المان‌ها در آرایه و موقعیت آنها در فضا و دامنه و فاز تغذیه اعمالی به آنها تعیین می‌شود. و این امتیاز بزرگ آرایه است که از طریق تعیین دامنه و فاز المان‌ها می‌توان به پtern مطلوب دسترسي پیدا کرد. آنتن آرایه یکی از مسائل اولیه بهینه سازی در الکترو مغناطیس بوده و در اینجا با روند بهینه سازی این ساختار آشنا می‌شویم، البته توضیح مفصل این روش‌ها در فصل دوم آمده است.

### ۱-۳ تاریخچه سنتز پtern آرایه

اولین توزیع بهینه آنتن آرایه ای توزیع دو جمله‌ای پیشنهادی از Ston است در این توزیع ضرایب دامنه المان‌ها نظیر ضرایب دو جمله ای هاست و AF نظیر آن لوب فرعی<sup>۱</sup> ندارد. در سال ۱۹۴۳ Schelkunof روشی ارائه کرد که برای پtern‌هایی با محل صفر معین و بیم یکنواخت کاربرد دارد. در سال ۱۹۴۶، در مقالات بعدی Dolph ضرایب چند جمله‌ای Chebyshev را به جملات AF نگاشت کرد تا لوب فرعی‌های برابری بدست آورد. ضرایب چند جمله ای AF در نهایت توزیع دامنه Dolph\_Chebyshev را نتیجه می‌دهد. این توزیع دامنه برای زمانی که

---

<sup>1</sup> side lobe (SL)

تعیین ماکزیمم سطح لوب فرعی‌ای<sup>۱</sup> که منجر به کمترین پهنهای بیم می‌شود، یا تعیین پهنهای بیمی که منجر به کمترین مقدار ماکزیمم سطح لوب فرعی شود بهینه است. در سال ۱۹۴۷ Woodward از خاصیت تعامد دسته بیم قابل تشكیل به وسیله آرایه با توزیع یکنواخت استفاده کرد و یک روش برای سنتز آرایه با شکل بیم‌اصلی دلخواه ارائه کرد. که این روش بر ناحیه لوب‌های فرعی کنترلی نداشت. در سال ۱۹۵۵ Taylor روشی برای کنترل لوب فرعی و پهنهای بیم برای منابع خطی پیوسته ارائه کرد که ایرادهای پtern Dolph\_Chebyshev را اصلاح می‌کرد. این روش رفتار لوب‌های فرعی نزدیک نظری لوب‌های فرعی پtern Chebyshev، و برای لوب‌های فرعی دور نظری لوب‌های فرعی،  $\frac{\sin \pi z}{\pi z}$  است. این پtern بازده خوبی برای آرایه‌های بزرگ دارد. در سال ۱۹۶۸، بایلیس از ایده Taylor استفاده کرد و آن را برای ساختارهای مونوپالس استفاده کرد. در سال ۱۹۸۱ Elliott پtern Taylor را بدین صورت تغییر داد که لوب‌های فرعی در دو طرف بیم یکسان نباشند و باید توجه کرد که این ساختار بر خلاف روش‌های قبل که فقط دامنه را تنظیم می‌کردند، ضرایب مختلطی ارائه می‌دهد که به معنای کنترل همزمان دامنه و فاز می‌باشد. وی این روش را به پtern بایلیس نیز اعمال کرد. در سال ۱۹۸۴ Villeneuve پtern Taylor را برای ساختارهای مجزا توسعه داد. همچنین در زمینه سنتز پtern توان آرایه که از حاصلضرب AF و مزدوج مختلط آن به دست می‌آید تحقیقاتی انجام شده که می‌توان به روش‌های زیر اشاره کرد. در سال ۱۹۷۰ Steyskal روشی بر مبنای یافتن بهترین تقریب برای پtern توان مطلوب، که ممکن است این تقریب غیر فیزیکی باشد، و سپس یافتن بهترین تقریب قابل پیاده سازی برای این تقریب از پtern توان است به گونه‌ای که مجموع مربعات خطا مینیمم شود. این روش برای پtern‌های پالسی استفاده شده است. در سال ۱۹۸۴ Orchard و همکارانش نیز روشی برای سنتز پtern ارائه کردند که در آن از ایده دایره واحد Schelkunof استفاده کردند با این تفاوت که در آن از صفرهای مختلط استفاده کردند. این روش هم بر لوب‌های فرعی‌ها وهم بر روی ناحیه بیم اصلی کنترل دارد. استفاده از روش‌های عددی برای یافتن توزیع دامنه و فاز مناسب در سال ۱۹۷۰ آغاز شد. روش‌های تحلیلی برای آنالیز آرایه به خوبی توسعه یافته بودند. روش‌های عددی بر مبنای تکرار برای شکل‌دهی بیم آنتن‌های آرایه به کار گرفته می‌شدند و این در حالی بود که بر سطح لوب فرعی کنترل نداشتند و سطح لوب فرعی به ساختار تحمیل می‌شد. طراحی آرایه با فوائل غیر یکسان در اواخر دهه ۱۹۵۰ و اوایل ۱۹۶۰ بسیار مورد توجه قرار گرفت. روش‌های عددی از این جهت مورد توجه

---

<sup>۱</sup> Side lobe level

قرار گرفتند که روش تحلیلی برای سنتز پیدا نمی شد. از این روش ها می توان به روش های زیر اشاره کرد.

روش جستجوی تصادفی، در این روش جستجو مسئله را به صورت یک فرایند تصادفی مدل می کنند و سپس فرایند جستجوی مینیمم آغاز می گردد.

روش جستجوی خط، جستجوی خط با یک نقطه دلخواه بر روی سطح آغاز می شود. یک بردار یا خطی که سطح را قطع کند انتخاب می شود. گامها بر روی این خط در نظر گرفته می شوند تا مینیمم پیدا شود. سپس یک بردار دیگر یافت می شود و این پروسه تکرار می شود. در صورتیکه این بردار در جهت منفی گرادیان در نظر گرفته شود منجر به روش شبیه حد اکثر<sup>۱</sup> می شود.

روش ذوب فلزات، که در این روش از ایده ذوب کردن فلزات و آرام سرد کردن آنها که منجر به تولید کریستال پایدار می شود استفاده می شود.

اما روشی که در حل مسائل سخت بهینه سازی در طراحی الکترومغناطیس اخیراً مورد توجه بسیاری قرار گرفته الگوریتم ژنتیک<sup>۲</sup> است. این الگوریتم الهام گرفته از فرایند ژنتیک و تکامل است. الگوریتم ژنتیک در بهینه سازی مسائل الکترومغناطیس بسیار موفق بوده است. البته ادعایی بر اینکه این الگوریتم بهترین الگوریتم برای کلیه مسائل می باشد نیست. ولی این الگوریتم در حل بسیاری مسائل موفق بوده که سایر الگوریتم ها در حل آنها شکست خورده اند. در این پایان نامه از این الگوریتم برای سنتز پترن مطلوب استفاده شده است.

## ۴-۱ پترن مربع کسکانت

اصولاً آتنن ها با پترن مربع کسکانت برای رادارهای نظارت هوایی طراحی می شوند. پترن مربع کسکانت ابزاری برای دست یافتن به شدت سیگنال یکسان در ورودی به ازای یکسان بودن ارتفاع اهداف در فواصل متفاوت است. به عبارتی این پترن توان کمتری به اهداف نزدیک نسبت

---

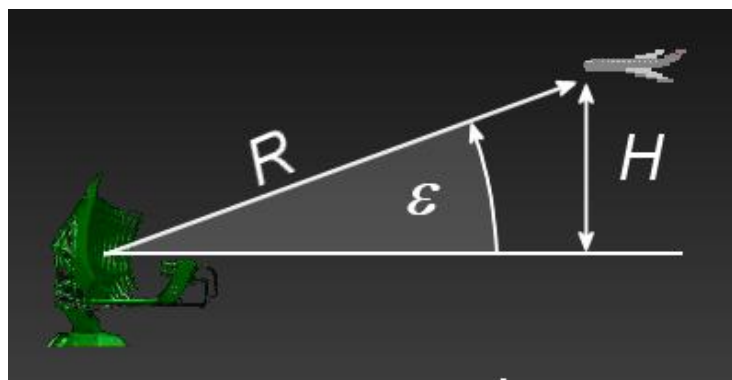
<sup>1</sup> steepest descent

<sup>2</sup> genetic algorithm

به اهداف دور در ارتفاع ثابت ارسال می‌کند. که نحوه استخراج رابطه مربع کسکانت بهصورت زیر است.

فرض کنیم هدف در ارتفاع  $h$  و فاصله  $R$  از گیرنده قرار گرفته باشد، در اینصورت، مطابق شکل (۱-۱)، رابطه مثلثاتی بین  $R$  و  $h$  به فرم زیر می‌باشد.

$$R = \frac{h}{\sin \varepsilon}$$



شکل (۱-۱) هدف در ارتفاع ثابت  $h$  و فاصله  $R$  از آنتن

با توجه به معادله رادار که در آن ارتباط بهره آنتن ( $G$ ) و توان دریافتی بهصورت

$$P_E \approx \frac{G^2}{R^4} \quad (1-1)$$

مشخص است برای داشتن توان دریافتی یکسان در ورودی باید

$$G \approx R^2 \quad (2-1)$$

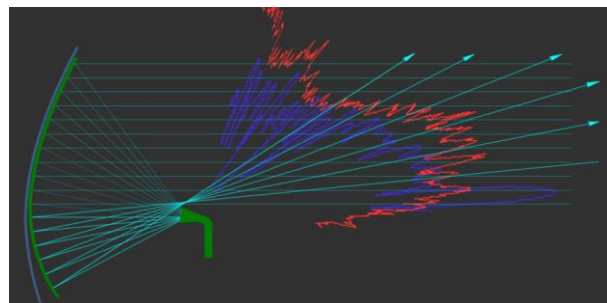
با جایگذاری  $R$  از رابطه (۱) داریم

$$G \approx (h \csc \varepsilon)^2 \Big|_{h=const} \quad (3-1)$$

از آنجا که ارتفاع هدف ثابت است شرط داشتن توان یکسان در ورودی مربع کسکانت بودن پtern آنتن است. این پtern را به روشهای زیر می‌توان محقق کرد.

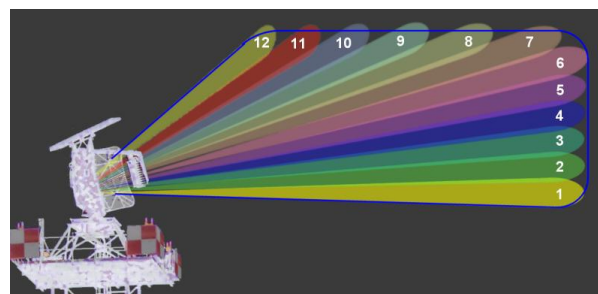
۱. تغییر فرم رفلکتورهای سهمی‌گون: از آنجاکه در یک رفلکتور در حالت ایده‌آل المان تشعشعی در کانون رفلکتور قرار دارد و دسته پرتویی به رفلکتور ارسال می‌کند که پرتوهای بازتابی آن یک دسته موازی هستند، برای بهدست آوردن پtern مربع کسکانت باید قدری از

توان تشعشعی در نزدیکی لبه بالا به سمت بالا تغییر مسیر بدهد، (که این کار به اهداف نزدیک توان کمتری اختصاص داده می‌شود) به این منظور باید انحنای لبه بالایی رفلکتور را کاهش داد. به طریق مشابه می‌توان این کار را با افزایش انحنای لبه پایین نیز انجام داد.



شکل(۲-۱) تغییر فرم رفلکتور برای دستیابی به پترن مربع کسکانت

۲. با استفاده از دسته بیم حاصله از تغذیه رفلکتور سهمی‌گون به وسیله آنتن‌های هورن: در این روش دو یا چند هورن به عنوان تغذیه آنتن مورد استفاده قرار می‌گیرند که با تنظیم توان اسالی به آنها می‌توان به پترن مربع کسکانت دست یافت.



شکل(۳-۱) استفاده از چند آنتن هورن در کانون رفلکتور برای دستیابی به پترن مربع کسکانت

۳. با استفاده از آرایه‌ها: در این روش با تنظیم ضرایب وزنی می‌توان به پترن مطلوب دست یافت که موضوع کار این پایان نامه است.

## ۱ - ۵ هدف تحقیق

در این پایان نامه هدف طراحی یک آنتن آرایه با پترن مربع کسکانت و مشخصات زیر است.

۱. پوشش زاویه‌ای ۳۴ درجه
۲. فرکانس کاری ۹۶۲ تا ۱۲۱۳ مگاهرتز با پهنه‌ای باند امپدانسی و تشعشعی٪۲۳
۳. پهنه‌ای بیم نیم توان حداقل ۵ درجه
۴. تلفات بازگشتی المان کمتر از -15dB